

УДК 532.62; 536.3

## ЧИСЛЕННОЕ РЕШЕНИЕ ЗАДАЧИ О ТЕЧЕНИИ И ТЕПЛОПЕРЕДАЧЕ В ТОНКОЙ ЖИДКОЙ ПЛЕНКЕ НА НЕСТАЦИОНАРНО РАСТЯГИВАЮЩЕЙСЯ ПЛАСТИНЕ ВО ВЛАЖНОЙ ПОРИСТОЙ СРЕДЕ ПРИ НАЛИЧИИ ТЕПЛОВОГО ИЗЛУЧЕНИЯ

М. М. Хайдер, А. М. Меджахед

Университет г. Бенха, 13518 Бенха, Египет  
E-mails: mohamedmbd@yahoo.com, ah\_mg\_sh@yahoo.com

Теоретически и численно исследуется задача о течении и теплопередаче на нестационарно растягивающейся пластине, расположенной в пористой среде, при наличии теплового излучения. С использованием метода вариационных итераций уравнения непрерывности, импульса и энергии, которые являются связанными нелинейными дифференциальными уравнениями в частных производных, приводятся к системе двух нелинейных обыкновенных дифференциальных уравнений. Изучена сходимость предложенного метода, получена оценка его погрешности. Исследовано влияние различных параметров, таких как параметр Дарси, параметр теплового излучения и число Прандтля, на профили скорости течения и температуры, а также на локальный коэффициент поверхностного трения и локальное число Нуссельта. Показано, что результаты, полученные методом вариационных итераций, хорошо согласуются с данными, полученными методом Рунге — Кутты совместно с методом пристрелки.

**Ключевые слова:** метод вариационных итераций, течение в тонкой пленке, растягивающаяся поверхность, пористая среда, тепловое излучение.

**Введение.** Изучение течения и теплопередачи в тонкой пленке на нестационарно растягивающейся пластине представляет интерес при моделировании таких производственных процессов, как экструзия, непрерывная разливка металлов, нанесение покрытия на провода и световоды, охлаждение большой металлической пластины в охлаждающем канале, конструирование различных теплообменников, выращивание кристаллов, нанесение покрытия из олова на медную проволоку, а также в реакторах с псевдооживленным слоем, химическом технологическом оборудовании и т. д. В работе [1] получено точное аналитическое решение задачи о стационарном двумерном течении в пограничном слое, обусловленном растяжением пластины, которая движется в своей плоскости со скоростью, линейно зависящей от расстояния от некоторой неподвижной точки. Задача о течении, теплопередаче и переносе массы на растягивающейся пластине при наличии отсоса или вдува исследована в [2]. В [3] с использованием результатов работы [1] исследованы различные особенности течения и теплопередачи, происходящей в бесконечной по протяженности области жидкости, окружающей растягивающуюся пластину.

В последние годы изучению течения жидкости и теплопередачи в пористых средах уделяется значительное внимание, что обусловлено многочисленными разработками энергетиче-

ческого оборудования для осуществления различных процессов, таких как извлечение геотермальной энергии, хранение радиоактивных отходов атомной промышленности, предотвращение загрязнения в грунтовой воде, восстановление масел, геофизическая теплоизоляция, охлаждение электронных блоков, производство продуктов питания, отливка и сварка, предотвращение распространения загрязняющих веществ в химической промышленности. В работе [4] рассмотрена задача естественной конвекции на вертикальной непроницаемой плоской пластине в пористой среде Дарси. Комбинированное течение на наклонной поверхности в пористой среде при естественной и вынужденной конвекции исследовано в [5]. В работе [6] изучались двойственные решения задачи смешанной конвекции для течения на вертикальной поверхности в пористой среде с постоянной температурой поверхности при наличии противотока. В [7] рассмотрены режимы вдува и отсоса на поверхности вертикальной пластины при смешанной конвекции в пористых средах. Естественная конвекция в пористой среде на вертикальной пластине с заданным на ее поверхности тепловым потоком изучалась в [8]. В работе [9] численно исследовано влияние равномерного поперечного потока массы при естественной конвекции на конусе, погруженном во влажную пористую среду. В [10] изучено влияние массопереноса на поверхности при смешанной конвекции неньютоновских жидкостей в пористых средах.

Во всех указанных выше работах рассматривалось уравнение пограничного слоя, а граничные условия ставились на пластине и на бесконечности в жидкости. В [11] впервые при исследовании задачи о течении в тонкой пленке ньютоновской жидкости на нестационарно растягивающейся поверхности использовано преобразование подобия, чтобы свести управляющие дифференциальные уравнения в частных производных к нелинейному обыкновенному дифференциальному уравнению с параметром нестационарности. В работе [12] задача [11] была обобщена на случай теплопереноса. В [13] представлены точные аналитические решения для нахождения импульса и теплопереноса в случае нестационарного движения жидкой пленки, вызванного только одноосным растяжением горизонтальной упругой пластины. В работе [14] решение, полученное в [12], обобщено на более общее распределение температуры, заданной на растягивающейся пластине. Совместное влияние вязкой диссипации и магнитного поля на течение и теплопередачу в жидкой пленке на нестационарно растягивающейся поверхности изучено в работе [15]. В [16] исследовано влияние термокапиллярности и магнитного поля в тонкой жидкой пленке на нестационарно растягивающейся упругой пластине. Полученные методом гомотопического анализа решения задачи о нестационарном течении в случае пластины конечной толщины представлены в [17].

В настоящей работе для поиска приближенных решений уравнений применяется относительно новый аналитический метод — метод вариационных итераций (МВИ). В этом методе решение имеет форму сходящегося ряда с легко вычисляемыми членами. В последнее время метод вариационных итераций играет важную роль при проведении исследований в этой области. Данный метод, предложенный в [18] в качестве модификации общего метода лагранжевых множителей, позволяет получить последовательность функций, сходящуюся к точному решению задачи. Показано, что МВИ является мощным инструментом для решения задач различного типа [19–25]. Этот метод позволяет решать задачи без дискретизации переменных, поэтому он не влияет на погрешность округления при вычислении, не требует большого объема памяти компьютера и больших временных затрат на расчеты. Кроме того, МВИ позволяет получить решение задачи в замкнутом виде, в то время как сеточные методы, такие как метод конечных разностей [26], обеспечивают приближение только в узлах сетки. Во многих работах отмечено, что МВИ позволяет избежать проблем, возникающих при вычислении многочленов методом декомпозиции Адомиана [23–25].

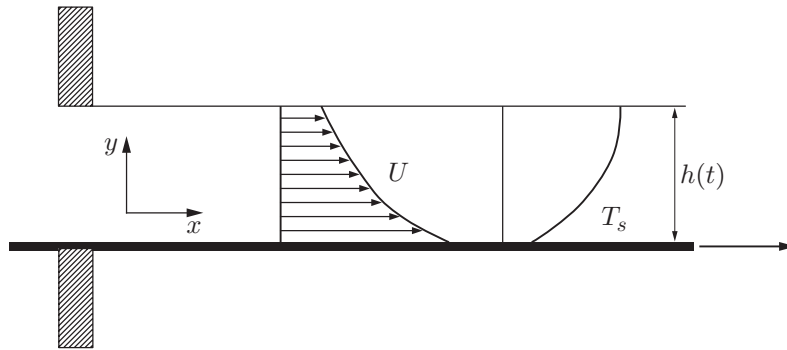


Рис. 1. Схема задачи

**1. Формулировка задачи.** Рассмотрим нестационарное течение ньютоновской жидкости в тонкой пленке на растягивающейся поверхности. Упругая пластина выходит из узкого разреза в начале декартовой системы координат (рис. 1). Сплошная поверхность, ориентированная вдоль оси  $x$  при  $y = 0$ , движется в своей плоскости со скоростью  $U(x, t)$  при температуре  $T_s(x, t)$ . Тонкая жидкая пленка постоянной толщины  $h(t)$  находится на горизонтальной поверхности. Уравнения пограничного слоя, определяющие скорость течения и теплоперенос, имеют вид

$$\frac{\partial u}{\partial x} + \frac{\partial v}{\partial y} = 0; \quad (1)$$

$$\frac{\partial u}{\partial t} + u \frac{\partial u}{\partial x} + v \frac{\partial u}{\partial y} = \frac{\mu}{\rho} \frac{\partial^2 u}{\partial y^2} - \frac{\mu}{\rho k} u, \quad (2)$$

$$\frac{\partial T}{\partial t} + u \frac{\partial T}{\partial x} + v \frac{\partial T}{\partial y} = \frac{1}{\rho c_p} \frac{\partial^2 T}{\partial y^2} - \frac{\kappa}{\rho c_p} \frac{\partial q_r}{\partial y},$$

где  $u, v$  — компоненты скорости в направлениях  $x$  и  $y$  соответственно;  $\rho$  — плотность жидкости;  $T$  — температура жидкости;  $t$  — время;  $\mu$  — вязкость жидкости;  $k = k_0(1 - at)$  — проницаемость пористой среды;  $k_0$  — параметр проницаемости;  $\kappa$  — теплопроводность;  $q_r$  — радиационный тепловой поток;  $c_p$  — удельная теплоемкость при постоянном давлении.

Граничные условия:

$$y = 0: \quad u = U, \quad v = 0, \quad T = T_s,$$

$$y = h: \quad \frac{\partial u}{\partial y} = \frac{\partial T}{\partial y} = 0, \quad v = \frac{dh}{dt}.$$

Здесь  $h$  — толщина жидкой пленки;  $U$  — скорость поверхности растягивающейся пластины. Течение вызвано растяжением упругой поверхности при  $y = 0$ , т. е. сплошная пластина движется в направлении  $x$  со скоростью

$$U = \frac{bx}{1 - at}. \quad (3)$$

Здесь  $a, b$  — положительные константы,  $c^{-1}$  ( $at \ll 1$ , поскольку обратная величина  $at \geq 1$  не имеет физического смысла);  $T_s$  — температура поверхности растягивающейся пластины, изменяющаяся в зависимости от расстояния  $x$  вдоль пластины и времени  $t$  по закону

$$T_s = T_0 - T_{ref} [bx^2 / (2\mu/\rho)] (1 - at)^{-3/2}, \quad (4)$$

$T_0$  — температура в разрезе;  $T_{ref}$  — постоянная исходная температура при  $at \ll 1$ .

Выражение для радиационного теплового потока  $q_r$  используется в приближении Росселанда [27]:

$$q_r = -\frac{4\sigma^*}{3k^*} \frac{\partial T^4}{\partial y}$$

( $\sigma^*$  — постоянная Стефана — Больцмана;  $k^*$  — среднее значение коэффициента поглощения). Следуя [28], предположим, что перепад температур в потоке небольшой и поэтому может быть выражен в виде линейной функции температуры. Разлагая  $T^4$  в ряд Тейлора при  $T_0$  и пренебрегая членами высшего порядка, имеем

$$T^4 \simeq 4T_0^3 T - 3T_0^4.$$

Выражения для скорости (3) и температуры поверхности (4) позволяют преобразовать систему дифференциальных уравнений в частных производных (2) в систему связанных нелинейных обыкновенных дифференциальных уравнений с использованием следующих преобразований подобия [16]:

$$\begin{aligned} \eta &= (b\rho/\mu)^{1/2}(1-at)^{-1/2}\beta^{-1}y, & u &= bx(1-at)^{-1}f'(\eta), \\ v &= -(\mu b/\rho)^{1/2}(1-at)^{-1/2}\beta f(\eta), & T &= T_0 - T_{ref}[bx^2/(2\mu/\rho)](1-at)^{-3/2}\theta(\eta). \end{aligned} \quad (5)$$

Здесь неизвестная постоянная  $\beta$  — безразмерная толщина пленки, определенная в [16]:

$$\beta = (b\rho/\mu)^{1/2}(1-at)^{-1/2}h(t). \quad (6)$$

Уравнения (5), (6) справедливы только при  $at \ll 1$ . С помощью уравнений (5) математическая задача, определяемая уравнениями (1), (2), преобразуется в систему обыкновенных дифференциальных уравнений

$$\begin{aligned} f''' + \gamma[ff'' - S\eta f''/2 - f'^2 - (S+D)f'] &= 0, \\ \text{Pr}^{-1}(1+R)\theta'' + \gamma(f\theta' - 2f'\theta - S\eta\theta'/2 - 3S\theta/2) &= 0, \end{aligned} \quad (7)$$

с граничными условиями

$$f(0) = 0, \quad f'(0) = 1, \quad \theta(0) = 1; \quad (8)$$

$$f''(1) = 0, \quad \theta'(1) = 0; \quad (9)$$

$$f(1) = S/2, \quad (10)$$

где штрихи обозначают дифференцирование по  $\eta$ ;  $S = a/b$  — параметр нестационарности;  $\text{Pr} = \mu c_p/\kappa$  — число Прандтля;  $\gamma = \beta^2$  — безразмерная толщина пленки;  $R = 16\sigma^*T_0^3/(3k^*\kappa)$  — параметр излучения;  $D = \mu/(\rho b k_0)$  — число Дарси.

Величинами, имеющими физический смысл, являются коэффициент поверхностного трения  $C_f$  и локальное число Нуссельта  $\text{Nu}_x$ :

$$C_f = (2/\beta)f''(0)\text{Re}_x^{-1/2}, \quad \text{Nu}_x = [2\beta(1-at)]^{-1/2}\theta'(0)\text{Re}_x^{3/2}$$

( $\text{Re}_x = \rho Ux/\mu$  — локальное число Рейнольдса).

**2. Анализ метода вариационных итераций.** Чтобы выполнить анализ вариационного метода итераций, рассмотрим систему нелинейных обыкновенных дифференциальных уравнений вида [25]

$$L_1u + R_1u + N_1(u) + F_1(u, v) = 0, \quad L_2v + R_2v + N_2(v) + F_2(u, v) = 0 \quad (11)$$

с заданными начальными условиями, где  $L_i, R_i$  — линейные ограниченные операторы (можно найти числа  $m_i > 0, n_i > 0$  ( $i = 1, 2$ ), такие что  $\|L_i u\| \leq m_i \|u\|, \|R_i u\| \leq n_i \|u\|$ ). Нелинейные члены  $N_1(u), N_2(v)$  непрерывны по Липшицу:

$$|N_1(u) - N_1(\theta)| \leq r_1 |u - \theta|, \quad |N_2(v) - N_2(\theta)| \leq r_2 |v - \theta| \quad \forall t \in J = [0, T].$$

Связанные нелинейные члены  $F_1(u, v), F_2(u, v)$  также непрерывны по Липшицу:

$$|F_1(u, v) - F_1(\theta, v)| \leq s_1 |u - \theta|, \quad |F_2(u, v) - F_2(u, \theta)| \leq s_2 |v - \theta|$$

для некоторых постоянных  $r_i > 0, s_i > 0$  ( $i = 1, 2$ ).

С использованием метода вариационных итераций решение системы (11) можно записать в виде следующих итерационных формул ( $n \geq 0$ ):

$$\begin{aligned} u_{n+1}(t) &= u_n(t) + \int_0^t \lambda_1(\tau) [L_1 u_n + R_1 \tilde{u}_n + N_1(\tilde{u}_n) + F_1(\tilde{u}_{n-1} \tilde{v}_n)] d\tau, \\ v_{n+1}(t) &= v_n(t) + \int_0^t \lambda_2(\tau) [L_2 v_n + R_2 \tilde{v}_n + N_2(\tilde{v}_n) + F_2(\tilde{u}_{n-1} \tilde{v}_n)] d\tau. \end{aligned} \quad (12)$$

Последовательные приближения  $u_n, v_n$  при  $n > 0$  (нижний индекс  $n$  обозначает приближение  $n$ -го порядка) можно получить, найдя общие множители лагранжа  $\lambda_1$  и  $\lambda_2$ , которые определяются с помощью вариационной теории [29–31]. Функции  $\tilde{u}_n$  и  $\tilde{v}_n$  являются функциями ограниченной вариации, т. е.  $\delta \tilde{u}_n = \delta \tilde{v}_n = 0$ . Сначала путем интегрирования по частям определяются лагранжевы множители. Последовательные приближения решений  $u_n, v_n$  ( $n \geq 0$ ) нетрудно получить, выбирая любые функции  $u_0$  и  $v_0$ . Обычно в качестве нулевого приближения используются начальные значения  $u_0$  и  $v_0$ . Следовательно, точные решения могут быть получены по формулам

$$u = \lim_{n \rightarrow \infty} u_n, \quad v = \lim_{n \rightarrow \infty} v_n.$$

Для того чтобы найти значения лагранжевых множителей  $\lambda_1, \lambda_2$ , рассмотрим случай оператора  $L_i = d/dt$  ( $i = 1, 2$ ).

Налагая условие стационарности на приведенный выше поправочный функционал и учитывая, что  $\delta \tilde{u}_n = \delta \tilde{v}_n = 0$ , получаем

$$\begin{aligned} \delta u_{n+1}(t) &= \delta u_n(t) + \delta \int_0^t \lambda_1(\tau) [\dot{u}_n + R_1 \tilde{u}_n + N_1(\tilde{u}_n) + F_1(\tilde{u}_n, \tilde{v}_n)] d\tau = \\ &= \delta u_n(t) + \int_0^t [\lambda_1(\tau) \delta \dot{u}_n] d\tau = \delta u_n(t) + [\lambda_1 \delta u_n]_{\tau=t} - \int_0^t [\delta u_n \dot{\lambda}_1] d\tau = 0, \\ \delta v_{n+1}(t) &= \delta v_n(t) + \delta \int_0^t \lambda_2(\tau) [\dot{v}_n + R_2 \tilde{v}_n + N_2(\tilde{v}_n) + F_2(\tilde{u}_n, \tilde{v}_n)] d\tau = \\ &= \delta v_n(t) + \int_0^t [\lambda_2(\tau) \delta \dot{v}_n] d\tau = \delta v_n(t) + [\lambda_2 \delta v_n]_{\tau=t} - \int_0^t [\delta v_n \dot{\lambda}_2] d\tau = 0, \end{aligned}$$

где  $\delta\tilde{u}_n, \delta\tilde{v}_n$  — ограниченные вариации. Из уравнения  $\delta\tilde{u}_n = \delta\tilde{v}_n = 0$  следуют условия стационарности

$$\dot{\lambda}_1(\tau) = 0, \quad 1 + \lambda_1(\tau)|_{\tau=t} = 0, \quad \dot{\lambda}_2(\tau) = 0, \quad 1 + \lambda_2(\tau)|_{\tau=t} = 0. \quad (13)$$

Уравнения (13) называются уравнениями Эйлера — Лагранжа с естественными граничными условиями, поэтому множители Лагранжа равны

$$\lambda_1(\tau) = \lambda_2(\tau) = -1. \quad (14)$$

Подставляя (14) в (12), получаем следующие формулы для вариационных итераций ( $n \geq 0$ ):

$$\begin{aligned} u_{n+1}(t) &= u_n(t) - \int_0^t [L_1 u_n + R_1 u_n + N_1(u_n) + F_1(u_n, v_n)] d\tau, \\ v_{n+1}(t) &= v_n(t) - \int_0^t [L_2 v_n + R_2 v_n + N_2(v_n) + F_2(u_n, v_n)] d\tau. \end{aligned} \quad (15)$$

С использованием начального приближения и итерационных формул (15) можно непосредственно получить компоненты решения.

**3. Анализ сходимости метода вариационных итераций.** В данном пункте представлены достаточные условия сходимости МВИ, доказана сходимость рекуррентной последовательности, которая получается методом вариационных итераций при решении обыкновенных дифференциальных уравнений.

Для того чтобы доказать сходимость МВИ, запишем уравнения (15) в операторной форме

$$u_n = A_1[u_{n-1}], \quad v_n = A_2[v_{n-1}], \quad (16)$$

где

$$\begin{aligned} A_1[u] &= - \int_0^t [L_1 u + R_1 u + N_1(u) + F_1(u, v)] d\tau, \\ A_2[v] &= - \int_0^t [L_2 v + R_2 v + N_2(v) + F_2(u, v)] d\tau. \end{aligned}$$

**Теорема 1** (теорема сходимости). *Предположим, что  $X$  — банахово пространство и  $A_i: X \rightarrow X$  ( $i = 1, 2$ ) являются нелинейными отображениями. Предположим, что при некоторых постоянных  $0 < \alpha_i < 1$  ( $\alpha_i = (m_i + n_i + r_i + s_i)T$ )*

$$\|A_i[u] - A_i[v]\| \leq \alpha_i \|u - v\| \quad \forall u \in X, v \in X.$$

*Тогда операторы  $A_i$  ( $i = 1, 2$ ) имеют единственную неподвижную точку. Кроме того, с помощью МВИ с произвольным выбором  $u_0 \in X, v_0 \in X$  последовательности в (16) сходятся к неподвижной точке  $A_i$ :*

$$\begin{aligned} \|u_n - u_m\| &\leq \frac{\alpha_1^m}{1 - \alpha_1} \|u_1 - u_0\|; \\ \|v_n - v_m\| &\leq \frac{\alpha_2^m}{1 - \alpha_2} \|v_1 - v_0\|. \end{aligned} \quad (17)$$

Доказательство. Обозначим через  $(C[J], \|\cdot\|)$  банахово пространство всех непрерывных функций на  $J$  с нормой

$$\|f(t)\| = \max_{t \in J} |f(t)|.$$

Докажем, что в этом банаховом пространстве последовательности  $\{u_n\}$  являются последовательностями Коши:

$$\begin{aligned} \|u_n - u_m\| &= \max_{t \in J} |u_n - u_m| = \\ &= \max_{t \in J} \left| - \int_0^t [L_1(u_{n-1} - u_{m-1}) + R_1(u_{n-1} - u_{m-1}) + N_1(u_{n-1}) - N_1(u_{m-1}) + \right. \\ &\quad \left. + F_1(u_{n-1}, v) - F_1(u_{m-1}, v)] d\tau \right| \leq \\ &\leq \max_{t \in J} \int_0^t [ |L_1(u_{n-1} - u_{m-1})| + |R_1(u_{n-1} - u_{m-1})| + |N_1(u_{n-1}) - N_1(u_{m-1})| + \\ &\quad + |F_1(u_{n-1}, v) - F_1(u_{m-1}, v)| ] d\tau \leq \\ &\leq \max_{t \in J} \int_0^t [(m_1 + n_1 + r_1 + s_1)|u_{n-1} - u_{m-1}|] d\tau \leq \alpha_1 \|u_{n-1} - u_{m-1}\|. \end{aligned}$$

Пусть  $n = m + 1$ , тогда

$$\|u_{m+1} - u_m\| \leq \alpha_1 \|u_m - u_{m-1}\| \leq \alpha_1^2 \|u_{m-1} - u_{m-2}\| \leq \dots \leq \alpha_1^m \|u_1 - u_0\|.$$

При  $n > m$  из неравенства треугольника и формул для суммы геометрической прогрессии следует

$$\begin{aligned} \|u_n - u_m\| &\leq \|u_{m+1} - u_m\| + \|u_{m+2} - u_{m+1}\| + \dots + \|u_n - u_{n-1}\| \leq \\ &\leq [\alpha_1^m + \alpha_1^{m+1} + \dots + \alpha_1^{n-1}] \|u_1 - u_0\| \leq \\ &\leq \alpha_1^m [1 + \alpha_1 + \alpha_1^2 + \dots + \alpha_1^{n-m-1}] \|u_1 - u_0\| \leq \alpha_1^m \frac{1 - \alpha_1^{n-m}}{1 - \alpha_1} \|u_1 - u_0\|. \end{aligned}$$

Так как  $0 < \alpha_1 < 1$ , то  $1 - \alpha_1^{n-m} < 1$ . Тогда

$$\|u_n - u_m\| \leq \frac{\alpha_1^m}{1 - \alpha_1} \|u_1 - u_0\|.$$

Однако  $\|u_1 - u_0\| < \infty$ , так как  $m \rightarrow \infty$ . Тогда  $\|u_n - u_m\| \rightarrow 0$ . Следовательно,  $\{u_n\}$  — последовательность Коши в  $C[J]$ , поэтому последовательность сходится. Аналогично можно доказать сходимость второй последовательности в уравнении (16) и получить соотношение (17). Теорема доказана.

**Теорема 2** (теорема оценки погрешности). *Максимальные абсолютные погрешности приближенных решений  $u_n, v_n$  в задаче (11) оцениваются по формулам*

$$\max_{t \in J} |u_{ex} - u_n| \leq \beta_1, \quad \max_{t \in J} |v_{ex} - v_n| \leq \beta_2,$$

где

$$\begin{aligned} \beta_1 &= \frac{\alpha_1^m T(m_1 \|u_0\| + h_1 + k_1)}{1 - \alpha_1}, & \beta_2 &= \frac{\alpha_2^m T(m_2 \|v_0\| + h_2 + k_2)}{1 - \alpha_2}, \\ h_1 &= \max_{t \in J} |N_1(u_0)|, & h_2 &= \max_{t \in J} |N_2(v_0)|, & k_i &= \max_{t \in J} |F_i(u_0, v_0)| \quad (i = 1, 2). \end{aligned}$$

Доказательство приведено в [25].

**4. Решение методом вариационных итераций.** В данном пункте с помощью МВИ решается нелинейная система (7) с граничными условиями (8)–(10).

С использованием МВИ запишем рекуррентные формулы

$$\begin{aligned} f_{n+1}(\eta) &= f_n(\eta) + \int_0^\eta \lambda_1(\tau) \left[ f_n''' + \gamma \left( \tilde{f}_n \tilde{f}_n'' - \frac{S}{2} \tau \tilde{f}_n'' - \tilde{f}_n'^2 - (S + D) \tilde{f}_n' \right) \right] d\tau, \\ \theta_{n+1}(\eta) &= \theta_n(\eta) + \int_0^\eta \lambda_2(\tau) \left[ \theta_n'' + \frac{\gamma \text{Pr}}{1 + R} \left( \tilde{f}_n \tilde{\theta}_n' - 2 \tilde{f}_n' \tilde{\theta}_n - \frac{S}{2} \tau \tilde{\theta}_n' - \frac{3}{2} S \tilde{\theta}_n \right) \right] d\tau, \end{aligned} \quad (18)$$

где  $\lambda_1, \lambda_2$  — общие лагранжевы множители.

Налагая условие стационарности на поправочный функционал:

$$\begin{aligned} \delta f_{n+1}(\eta) &= \delta f_n(\eta) + \delta \int_0^\eta \lambda_1(\tau) \left[ f_n''' + \gamma \left( \tilde{f}_n \tilde{f}_n'' - \frac{S}{2} \tau \tilde{f}_n'' - \tilde{f}_n'^2 - (S + D) \tilde{f}_n' \right) \right] d\tau = \\ &= \delta f_n(\eta) + \int_0^\eta [\lambda_1(\tau) \delta f_n'''] d\tau = \\ &= \delta f_n(\eta) + [\delta f_n'' \lambda_1 - \delta f_n' \lambda_1' + \delta f_n \lambda_1'']_{\tau=\eta} - \int_0^\eta [\delta f_n \lambda_1'''] d\tau = 0, \\ \delta \theta_{n+1}(\eta) &= \delta \theta_n(\eta) + \delta \int_0^\eta \lambda_2(\tau) \left[ \theta_n'' + \frac{\gamma \text{Pr}}{1 + R} \left( \tilde{f}_n \tilde{\theta}_n' - 2 \tilde{f}_n' \tilde{\theta}_n - \frac{S}{2} \tau \tilde{\theta}_n' - \frac{3}{2} S \tilde{\theta}_n \right) \right] d\tau = \\ &= \delta \theta_n(\eta) + \int_0^\eta [\lambda_2(\tau) \delta \theta_n''] d\tau = \\ &= \delta \theta_n(\eta) + [\delta \theta_n' \lambda_2 - \delta \theta_n \lambda_2']_{\tau=\eta} + \int_0^\eta [\delta \theta_n \lambda_2''] d\tau = 0, \end{aligned}$$

где  $\delta \tilde{f}_n, \delta \tilde{\theta}_n$  — ограниченные вариации, т. е.  $\delta \tilde{f}_n = \delta \tilde{\theta}_n = 0$ , получаем следующие условия стационарности:

$$\begin{aligned} \lambda_1'''(\tau) &= 0, & 1 + \lambda_1''(\tau)|_{\tau=\eta} &= 0, & \lambda_1'(\tau)|_{\tau=\eta} &= 0, & \lambda_1(\tau)|_{\tau=\eta} &= 0, \\ \lambda_2'''(\tau) &= 0, & 1 - \lambda_2'(\tau)|_{\tau=\eta} &= 0, & \lambda_2(\tau)|_{\tau=\eta} &= 0. \end{aligned} \quad (19)$$

Уравнения (19) называются уравнениями Эйлера — Лагранжа с естественными граничными условиями, поэтому множители Лагранжа записываются в виде

$$\lambda_1(\tau) = -(\tau - \eta)^2/2, \quad \lambda_2(\tau) = \tau - \eta. \quad (20)$$

Подставляя (20) в (18), получаем следующие вариационные итерационные формулы:

$$\begin{aligned} f_{n+1}(\eta) &= f_n(\eta) - \frac{1}{2} \int_0^\eta (\tau - \eta)^2 \left[ f_n''' + \gamma \left( f_n f_n'' - \frac{S}{2} \tau f_n'' - f_n'^2 - (S + D) f_n' \right) \right] d\tau, \\ \theta_{n+1}(\eta) &= \theta_n(\eta) + \int_0^\eta (\tau - \eta) \left[ \theta_n'' + \frac{\gamma \text{Pr}}{1 + R} \left( f_n \theta_n' - 2 f_n' \theta_n - \frac{S}{2} \tau \theta_n' - \frac{3}{2} S \theta_n \right) \right] d\tau. \end{aligned} \quad (21)$$



Запишем начальные приближения

$$f_0(\eta) = f(0) + \frac{f'(0)}{1!} \eta + \frac{f''(0)}{2!} \eta^2 = \eta + 0,5A\eta^2, \quad \theta_0(\eta) = \theta(0) + \frac{\theta'(0)}{1!} \eta = 1 + B\eta$$

для некоторых постоянных  $A = f''(0)$ ,  $B = \theta'(0)$ . С использованием итерационных формул (21) можно непосредственно получить первые компоненты решения (7):

$$\begin{aligned} f_0(\eta) &= \eta + 0,5A\eta^2, \\ f_1(\eta) &= f_0(\eta) - 0,5(-0,333\,333\gamma\eta^3 - 0,333\,333D\eta^3 - 0,333\,333S\gamma\eta^3 - 0,083\,333\,3A\eta^4 - \\ &\quad - 0,083\,333\,3AD\eta^4\gamma - 0,125AS\eta^4 - 0,016\,666\,7\gamma A^2\eta^5), \\ \theta_0(\eta) &= 1 + B\eta, \end{aligned}$$

$$\theta_1(\eta) = \theta_0(\eta) + \frac{\gamma \text{Pr}}{1 + R} \eta^2 (1 + 0,166\,667B\eta + A\eta(0,333\,333 + 0,125B\eta) + S(0,75 + 0,333\,333B\eta))$$

и т. д. Неизвестные величины  $A$  и  $B$  вычисляются, если выполняются граничные условия (9). При  $R = 0$ ,  $\text{Pr} = 1$ ,  $S = 1$ ,  $D = 0$   $A = -1,013\,54$ ,  $B = -1,446\,91$ .

Результаты численного решения рассматриваемой модельной задачи показывают, что предлагаемый метод позволяет решать задачи с высокой скоростью сходимости. Во всех расчетах использовались три итерации ( $n = 3$ ) итерационных формул (21). Результаты численного решения получены с использованием пакета Mathematica (версия 6).

**5. Результаты расчетов и обсуждение.** Чтобы оценить точность представленной методики, результаты решения рассматриваемой задачи сравнивались с данными, полученными в [16] при  $R = 0$  и  $D = 0$  (т. е. в отсутствие влияния термокапиллярности и магнитного поля), и с данными [17] в случае ньютоновской жидкости (табл. 1). Из табл. 1 следует, что результаты расчетов хорошо согласуются.

Значения безразмерной толщины пленки  $\gamma$ , коэффициента поверхностного трения  $f''(0)$  и локального числа Нуссельта  $-\theta'(0)$  при различных параметрах, управляющих потоком и теплопередачей, представлены в табл. 2–5.

Из табл. 2, 3 следует, что увеличение числа Дарси  $D$  и параметра нестационарности  $S$  приводит к уменьшению толщины пленки  $\gamma$  и величины теплового потока  $-\theta'(0)$  и к увеличению значения коэффициента поверхностного трения  $f''(0)$ . Очевидно, что увеличение числа Прандтля  $\text{Pr}$  приводит к увеличению теплового потока  $-\theta'(0)$  при постоянных значениях коэффициента поверхностного трения  $f''(0)$  и толщины пленки  $\gamma$  (см. табл. 4). Из табл. 5 следует, что при постоянных значениях коэффициента поверхностного трения  $f''(0)$  и толщины пленки  $\gamma$  с увеличением параметра излучения  $R$  величина теплового потока  $-\theta'(0)$  уменьшается.

На рис. 2 показано влияние параметра Дарси  $D$  на профиль скорости. Видно, что с увеличением параметра Дарси вблизи пластины скорость уменьшается, а вдали от нее

Таблица 1

Значения  $f''(0)$  и  $\gamma$ , полученные в [16, 17] и в настоящей работе

$S$	Данные [16]		Данные [17]		Данные настоящей работы	
	$\gamma$	$f''(0)$	$\gamma$	$f''(0)$	$\gamma$	$f''(0)$
1,4	0,674 089	-1,012 781	0,764 097	-1,012 781	0,674 493	-1,012 773
1,6	0,331 976	-0,642 412	0,331 977	-0,642 410	0,331 975	-0,642 430
1,8	0,127 013	-0,309 138	0,127 014	-0,309 138	0,127 017	-0,309 142

Таблица 2

Значения  $\gamma$ ,  $f''(0)$ ,  $-\theta'(0)$ , полученные с использованием МВИ и метода пристрелки при  $S = 0,8$ ,  $Pr = 1$ ,  $R = 1$  и различных значениях  $D$

D	МВИ			Метод пристрелки		
	$\gamma$	$f''(0)$	$-\theta'(0)$	$\gamma$	$f''(0)$	$-\theta'(0)$
0	5,568 80	-2,916 68	2,617 12	5,568 82	-2,916 62	2,617 19
0,2	4,919 78	-2,905 72	2,428 29	4,919 77	-2,905 61	2,428 27
0,4	4,430 18	-2,904 28	2,274 74	4,430 17	-2,904 20	2,274 70
0,6	4,056 61	-2,902 34	2,149 48	4,056 63	-2,902 30	2,149 44

Таблица 3

Значения  $\gamma$ ,  $f''(0)$ ,  $-\theta'(0)$ , полученные с использованием МВИ и метода пристрелки при  $D = 0,2$ ,  $Pr = 1$ ,  $R = 1$  и различных значениях  $S$

S	МВИ			Метод пристрелки		
	$\gamma$	$f''(0)$	$-\theta'(0)$	$\gamma$	$f''(0)$	$-\theta'(0)$
0,8	4,919 78	-2,905 71	2,428 29	4,919 78	-2,905 72	2,428 28
1,0	2,178 51	-1,983 98	1,644 28	2,178 54	-1,983 99	1,644 27
1,2	1,153 88	-1,440 29	1,184 91	1,153 85	-1,440 28	1,184 92
1,4	0,616 09	-1,010 72	0,823 13	0,616 08	-1,010 72	0,823 12
1,6	0,306 29	-0,516 07	0,641 58	0,306 20	-0,516 04	0,641 57

Таблица 4

Значения  $\gamma$ ,  $f''(0)$ ,  $-\theta'(0)$ , полученные с использованием МВИ и метода пристрелки при  $S = 0,8$ ,  $D = 0,2$ ,  $R = 1$  и различных значениях  $Pr$

Pr	МВИ			Метод пристрелки		
	$\gamma$	$f''(0)$	$-\theta'(0)$	$\gamma$	$f''(0)$	$-\theta'(0)$
0,7	4,919 789	-2,9057	1,939 89	4,919 788	-2,9057	1,939 81
1,0	4,919 789	-2,9057	2,428 29	4,919 788	-2,9057	2,428 28
2,0	4,919 789	-2,9057	3,608 76	4,919 788	-2,9057	3,608 77
3,0	4,919 789	-2,9057	4,453 89	4,919 788	-2,9057	4,453 88

Таблица 5

Значения  $\gamma$ ,  $f''(0)$ ,  $-\theta'(0)$ , полученные с использованием МВИ и метода пристрелки при  $S = 0,8$ ,  $D = 0,2$ ,  $Pr = 1$  и различных значениях  $R$

R	МВИ			Метод пристрелки		
	$\gamma$	$f''(0)$	$-\theta'(0)$	$\gamma$	$f''(0)$	$-\theta'(0)$
1	4,919 789	-2,9057	2,428 29	4,919 789	-2,9057	2,428 27
3	4,919 789	-2,9057	1,545 51	4,919 789	-2,9057	1,545 52
5	4,919 789	-2,9057	1,150 24	4,919 789	-2,9057	1,150 23
7	4,919 789	-2,9057	0,919 55	4,919 789	-2,9057	0,919 55

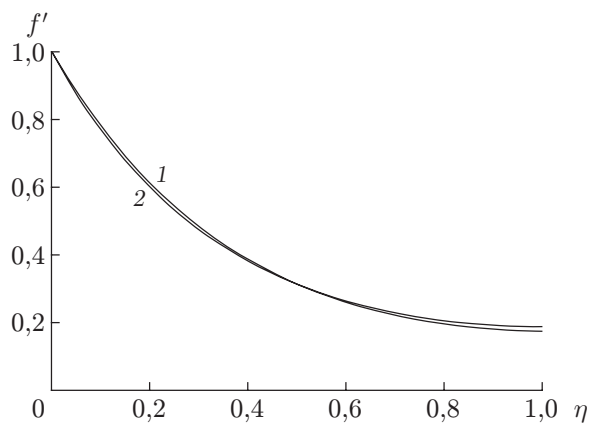


Рис. 2

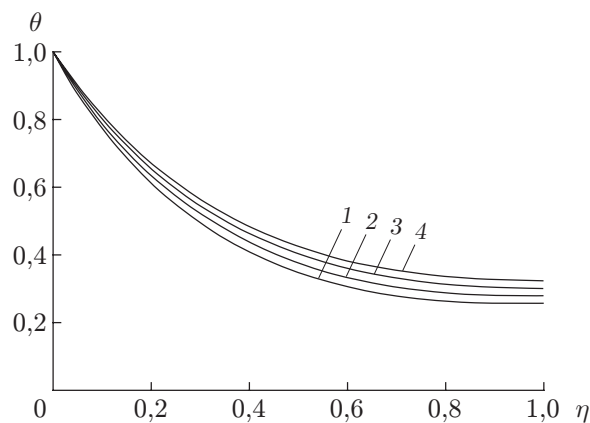


Рис. 3

Рис. 2. Профили скорости при  $S = 0,8$ ,  $Pr = 1$ ,  $R = 1$  и различных значениях  $D$ :  
 1 —  $D = 0$ ; 2 —  $D = 2$

Рис. 3. Профили температуры при  $S = 0,8$ ,  $Pr = 1$ ,  $R = 1$  и различных значениях  $D$ :  
 1 —  $D = 0$ ; 2 —  $D = 0,2$ ; 3 —  $D = 0,4$ ; 4 —  $D = 0,6$

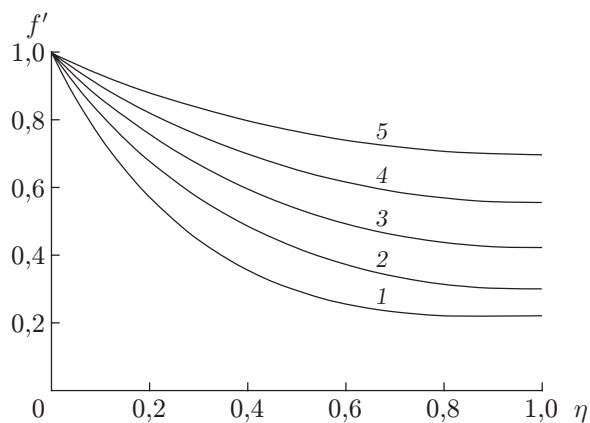


Рис. 4

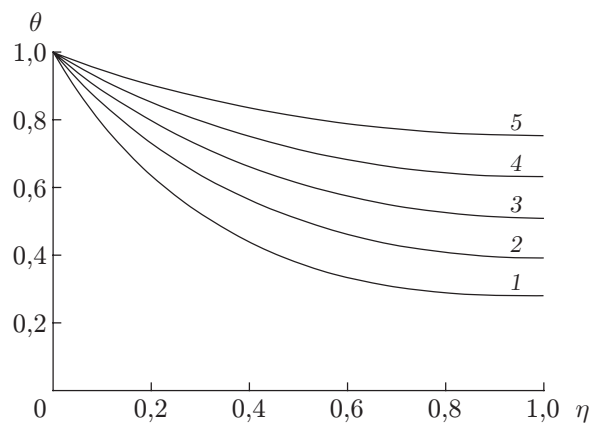


Рис. 5

Рис. 4. Профили скорости при  $D = 0,2$ ,  $Pr = 1$ ,  $R = 1$  и различных значениях  $S$ :  
 1 —  $S = 0,8$ ; 2 —  $S = 1,0$ ; 3 —  $S = 1,2$ ; 4 —  $S = 1,4$ ; 5 —  $S = 1,6$

Рис. 5. Профили температуры при  $D = 0,2$ ,  $Pr = 1$ ,  $R = 1$  и различных значениях  $S$ :  
 1 —  $S = 0,8$ ; 2 —  $S = 1,0$ ; 3 —  $S = 1,2$ ; 4 —  $S = 1,4$ ; 5 —  $S = 1,6$

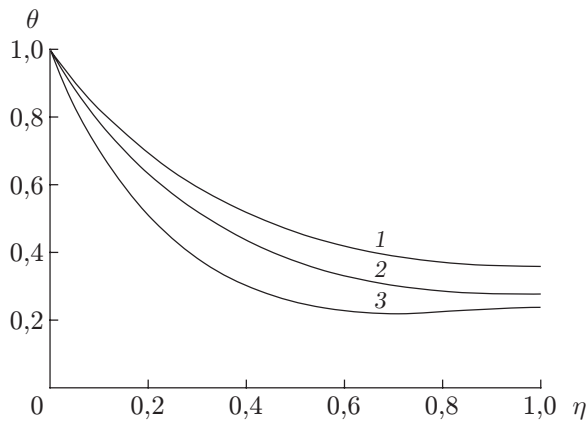


Рис. 6

Рис. 6. Профили температуры при  $S = 0,8$ ,  $D = 0,2$ ,  $R = 1$  и различных значениях  $Pr$ :

1 —  $Pr = 0,7$ ; 2 —  $Pr = 1,0$ ; 3 —  $Pr = 2,0$

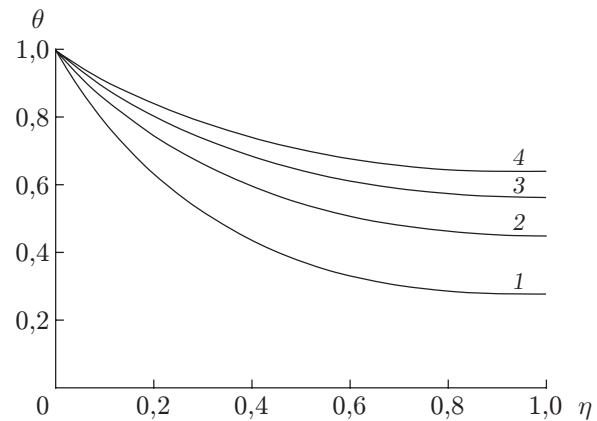


Рис. 7

Рис. 7. Профили температуры при  $S = 0,8$ ,  $D = 0,2$ ,  $Pr = 1$  и различных значениях  $R$ :

1 —  $R = 1$ ; 2 —  $R = 3$ ; 3 —  $R = 5$ ; 4 —  $R = 7$

увеличивается. На рис. 3 приведены безразмерные профили температуры  $\theta(\eta)$  при различных значениях  $D$ . Видно, что с увеличением  $D$  температура увеличивается. Это обусловлено тем, что в пористой среде возникает сила, подобная силе сопротивления, которая вызывает уменьшение скорости жидкости и увеличение температуры.

На рис. 4, 5 показано влияние параметра нестационарности  $S$  на профили скорости и температуры соответственно. Видно, что с увеличением параметра нестационарности  $S$  скорость и температура увеличиваются.

На рис. 6 представлена зависимость безразмерной температуры  $\theta$  от  $\eta$  при различных значениях числа Прандтля  $Pr$ . Видно, что с увеличением числа Прандтля температура уменьшается. Это обусловлено тем, что при больших числах Прандтля жидкость обладает большой теплоемкостью и, следовательно, увеличивается теплопередача.

На рис. 7 показано влияние параметра излучения  $R$  на безразмерную температуру  $\theta(\eta)$ . Видно, что увеличение параметра излучения  $R$  приводит к увеличению температуры в любой точке. Это происходит вследствие того, что с увеличением параметра излучения величина теплового потока на поверхности увеличивается, поэтому температура жидкости также увеличивается.

**Заключение.** В работе выполнено теоретическое и численное исследование влияния теплового излучения на течение и теплоперенос в тонкой жидкой пленке на нестационарно растягивающейся пластине, погруженной в пористую среду. С помощью преобразований дифференциальные уравнения в частных производных, описывающие задачу, сведены к системе обыкновенных дифференциальных уравнений. Для решения полученной системы обыкновенных дифференциальных уравнений использовался приближенный метод вариационных итераций. Представленные результаты показывают, что приближенное решение хорошо согласуется с решениями, полученными методом Рунге — Кутты совместно с методом пристрелки и другими методами.

## ЛИТЕРАТУРА

1. **Crane L. J.** Flow past a stretching plane // *Z. angew. Math. Phys.* 1970. Bd 21. S. 645–647.
2. **Gupta P. S., Gupta A. S.** Heat and mass transfer on a stretching sheet with suction or blowing // *Canad. J. Chem. Engng.* 1977. V. 55. P. 744–746.
3. **Dutta B. K., Gupta A. S.** Cooling of a stretching sheet in a viscous flow // *Ind. Engng Chem. Res.* 1987. V. 26. P. 333–336.
4. **Cheng P., Minkowycz W. J.** Free convection about a vertical flat plate embedded in a porous medium with application to heat transfer from a dike // *J. Geophys. Res.* 1977. V. 82. P. 2040–2044.
5. **Cheng P.** Combined free and forced convection flow about inclined surfaces in porous media // *Intern. J. Heat Mass Transfer.* 1977. V. 20. P. 807–814.
6. **Merkin J. H.** On dual solutions occurring in mixed convection in a porous medium // *J. Engng Math.* 1985. V. 20. P. 171–179.
7. **Hooper W. B., Chen T. S., Armaly B. F.** Mixed convection from a vertical plate in porous media with surface injection or suction // *Numer. Heat Transfer.* 1993. V. 25. P. 317–329.
8. **Wright S. D., Ingham D. B., Pop I.** On natural convection from a vertical plate with a prescribed surface heat flux in porous media // *Transport Porous Media.* 1996. V. 22. P. 181–193.
9. **Yih K. A.** The effect of uniform lateral mass flux on free convection about vertical cone embedded in a saturated porous medium // *Intern. Comm. Heat Mass Transfer.* 1997. V. 24. P. 1195–1205.
10. **Gorla R. S. R., Takhar H. S.** Mixed convection in non-Newtonian fluids along a vertical plate in porous media with surface mass transfer // *Intern. J. Numer. Methods Heat Fluid Flow.* 1997. V. 7. P. 596–608.
11. **Wang C. Y.** Liquid film on an unsteady stretching surface // *Quart. Appl. Math.* 1990. V. 48. P. 601–610.
12. **Andersson H. I., Aarseh J. B., Dandapat B. S.** Heat transfer in a liquid film on an unsteady stretching surface // *Intern. J. Heat Mass Transfer.* 2000. V. 43. P. 69–74.
13. **Wang C.** Analytic solutions for a liquid thin film on an unsteady stretching surface // *Heat Mass Transfer.* 2006. V. 42. P. 759–766.
14. **Liu I. C., Anderson H. I.** Heat transfer in a liquid film on an unsteady stretching sheet // *Intern. J. Thermal Sci.* 2008. V. 47. P. 766–772.
15. **Subhas Abel M., Mahesha N., Tawade J.** Heat transfer in a liquid film over an unsteady stretching surface with viscous dissipation in presence of external magnetic field // *Appl. Math. Modelling.* 2009. V. 33. P. 3430–3441.
16. **Noor N. F. M., Hashim I.** Thermocapillarity and magnetic field effects in a thin liquid film on an unsteady stretching surface // *Intern. J. Heat Mass Transfer.* 2010. V. 53. P. 2044–2051.
17. **Wang C., Pop I.** Analysis of the flow of a power-law fluid film on an unsteady stretching surface by means of homotopy analysis method // *J. Non-Newtonian Fluid Mech.* 2006. V. 138. P. 161–172.
18. **He J. H.** Variational iteration method — a kind of non-linear analytical technique: Some examples // *Intern. J. Non-Linear Mech.* 1999. V. 34. P. 699–708.
19. **Abassy T. A., Magdy A. El-Tawil, El Zoheiry H.** Solving nonlinear partial differential equations using the modified variational iteration Padé technique // *J. Comput. Appl. Math.* 2007. V. 207. P. 73–91.
20. **Biazar J., Ghazvini H.** He's variational iteration method for solving hyperbolic differential equations // *Intern. J. Nonlinear Sci. Numer. Simul.* 2007. V. 8, N 3. P. 311–314.

21. **Goha S. H., Noorani M. S. M., Hashim I.** Introducing variational iteration method to a biochemical reaction model // *Nonlinear Anal.: Real World Appl.* 2010. V. 11. P. 2264–2272.
22. **He J. H.** Variational iteration method for autonomous ordinary differential systems // *Appl. Math. Comput.* 2000. V. 114, N 2/3. P. 115–123.
23. **Sweilam N. H., Khader M. M.** Variational iteration method for one dimensional nonlinear thermoelasticity // *Chaos, Solitons Fractals.* 2007. V. 32. P. 145–149.
24. **Sweilam N. H., Khader M. M., Al-Bar R. F.** Numerical studies for a multi-order fractional differential equation // *Phys. Lett. A.* 2007. V. 371. P. 26–33.
25. **Sweilam N. H., Khader M. M.** On the convergence of VIM for nonlinear coupled system of partial differential equations // *Intern. J. Comput. Math.* 2010. V. 87, N 5. P. 1120–1130.
26. **Butcher J. C.** Numerical methods for ordinary differential equations. S. l.: John Wiley and Sons, 2003.
27. **Raptis A.** Flow of a micropolar fluid past a continuously moving plate by the presence of radiation // *Intern. J. Heat Mass Transfer.* 1998. V. 41. P. 2865–2866.
28. **Raptis A.** Radiation and viscoelastic flow // *Intern. Comm. Heat Mass Transfer.* 1999. V. 26. P. 889–895.
29. **Agarwal R. P.** Fixed point theory and applications / R. P. Agarwal, M. Meehan, D. O'Regan. N. Y.: Cambridge Univ. Press, 2001.
30. **Kelley W.** The theory of differential equations: classical and qualitative / W. Kelley, A. Petterson. Upper Saddle River: Pearson Educat. Inc., 2004.
31. **Kreyszig E.** Introductory functional analysis with applications. N. Y.: John Wiley and Sons, 1989.

*Поступила в редакцию 14/III 2011 г.,  
в окончательном варианте — 25/V 2011 г.*

---